

Onda sonora (all'epoca dell'ultimo scattering)

LOS 1

Prima che l'universo diventasse quasi neutro (epoca delle ricombinazione) la velocità del suono è $c_S = c_{\text{SO}} \approx \frac{1}{3}c$ perché i beryoni sono un unico fluido con i fotoni, cui sono fortemente accoppiati.

(ds)

L'orizzonte sonoro, in analogia con l'orizzonte delle particelle, è la distanza propria dalla quale si è ricavata una informazione di tipo acustico. Le fluttuazioni di densità dell'universo primordiale si conservano come onde sonore per buona parte del tempo fino all'epoca delle

ricombinazione (z ~ 1100, $t \approx 400.000$ anni).

(orizzonte perturbazione)

concentrazione di materie oscura, fotoni, beryoni (e neutrini) presente nell'universo primordiale produce un fronte d'onda acustico esterno a se che produce un aumento di densità sulle scale caratteristiche dell'orizzonte sonoro; queste a loro volta favorisce le formazioni di strutture (galassie) separate da una scala ds. Dopo

$w \approx 0$

la ricombinazione c_S si riduce praticamente a zero riflettendo il valore precedente, per cui la scala cresce in proporzione, per effetto dell'espansione, come $1/(1+z)$.

Rappresentate quindi un "profilo standard" cui si possono applicare test cosmologici. [corrisponde alle cosiddette Baryonic Acoustic Oscillations - BAO]

Il valore di ds all'epoca della ricombinazione imprime una segnatura imperfetta nel fondo a microonde che si genera appunto alla ricombinazione.

Fai vedere
Video
Slide
Evaluation
Answers

Quindi, in analogia con l'evoluzione delle particelle

LOS2

d_H(t), sarà

$$d_S(t) = a(t) \int_0^t \frac{c_s dt'}{a(t')}$$

$$= \frac{a_0}{(1+z)} \int_z^0 \frac{c_s(z')}{H(z')} dz' \quad c_s(z) = \frac{c}{\sqrt{3(1 + \frac{3g_B(z)}{g_B(z)})}}$$

→ Motivo

Se assumiamo per semplicità che $c_s \sim \frac{c}{\sqrt{3}}$ [questo è

esatto per $z \gg 1000$ e $z \approx z_{rec} \sim 1100 \xrightarrow{\text{MD epoch}} c_s \sim 0.7 \sqrt{3}$] avremo

RD epoch

$\rightarrow t_{recombination} \rightarrow a > t_{rec} \quad c_s = 0$

$$d_S(t) \approx a(t) \cdot \frac{c}{\sqrt{3}} \int_0^t \frac{dt'}{a(t')}$$

che differisce da $d_H(t)$

Se per il fattore $1/\sqrt{3}$.

$\rightarrow \Lambda = 0, K = 0$ e si dorminata
da 1° componente

Se ricordiamo che nel modello LOS (vedi pag 89)

$$d_{PH}(t) = \frac{3(1+w)}{1+3w} c \cdot t$$

$$z \approx 1100 \ll z_{eq} \approx 3700 \rightarrow$$

$$\omega = 0$$

alla ricombinazione (in epoca dominante della materia)

$$\text{Sarà } d_{PH}(t_{rec}) = 3ct_{rec} \rightarrow d_S(t_{rec}) \approx \frac{1}{\sqrt{3}} \cdot 3ct_{rec} = \frac{1}{\sqrt{3}} d_H(t_{rec})$$

Se ricordiamo che, sempre alla ricombinazione,

$$R_{PH}(t_{rec}) \approx \frac{1}{2} d_{PH}(t_{rec}) \rightarrow d_S(t_{rec}) \approx \frac{1}{\sqrt{3}} \cdot 2 \cdot R_{PH}(t_{rec}) \approx 1.15 R_{PH}(t_{rec})$$

Cioè: $d_S(t_{rec}) \approx R_{PH}(t_{rec})$

$$R_H(t) = \frac{1+3w}{2} d_H(t)$$

Per modelli Λ CDM otteniamo:

$$d_S(z) \approx \frac{1}{(1+z)} \frac{147.05}{\text{Mpc}} \left(\frac{80m_h^2}{0.1432} \right)^{-0.23} \left(\frac{Neff}{3.04} \right)^{-0.1} \left(\frac{O_b h^2}{0.02236} \right)^{-0.13}$$

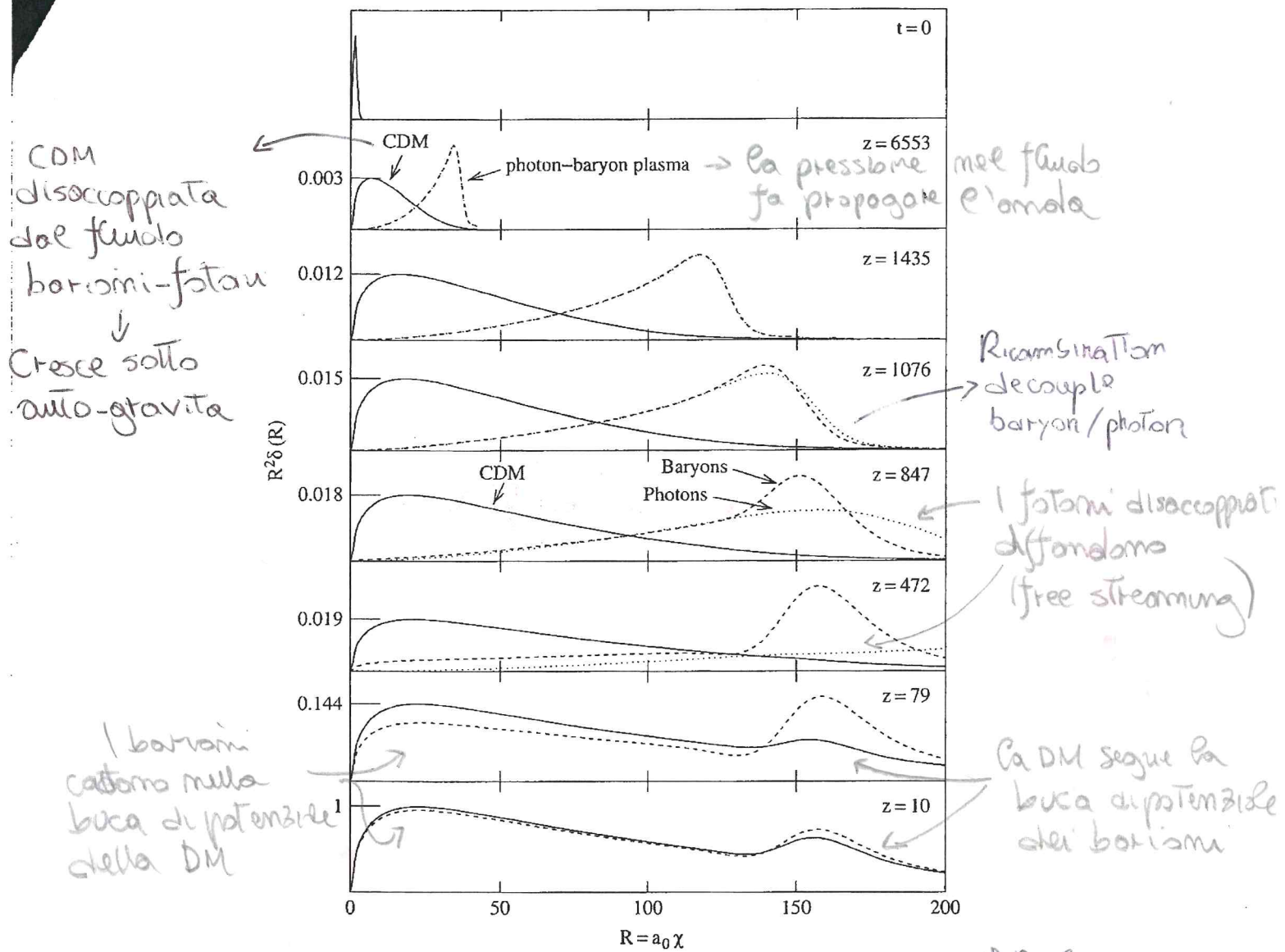
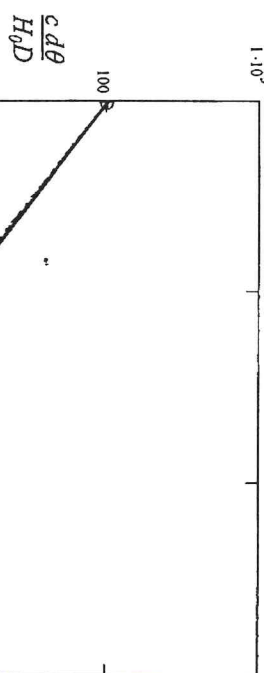


Fig. 5.5 The time development of an initial adiabatic over-density in a universe with CDM, neutrinos, baryons, and photons [152, 123]. At $t = 0$, the over-density of all components are superimposed but the pressure of the baryon-photon plasma causes it to propagate away from the origin at the speed of sound. Light neutrinos (not shown) free stream away with the speed of light. The baryons stop shortly after recombination when the baryons and photons decouple, allowing the photons to free stream away. CDM and baryons from the homogeneous reservoir will then be gravitationally attracted into the potential wells formed by the CDM at the origin and the shell of baryons. This infall of homogeneous matter will generate CDM-baryon over-densities where galaxies will preferentially form. This results in the galaxy-galaxy correlation function seen in Fig. 5.7.

Segnatura della d_s nel CMB

Marino Mezzetti

ELEMENTI DI COSMOLOGIA



$$(\text{Vale per } -66 \dots -67)$$

$$(*) \quad \theta_s \approx \frac{2c}{H_0 S_M} \approx \frac{\Omega_M^{\alpha-1/2}}{2(1+z_{ls})^{1/2}} \approx 0.9^\circ \Omega_M^{\alpha-1/2} \approx 1^\circ \text{ per } \Omega_M = 0.3$$

Distanza di D-angolo rappresentazione dello spettro di potenza angolare del CMB.

Se usiamo invece il multipolo l_s , usato nella CMB, otteniamo:

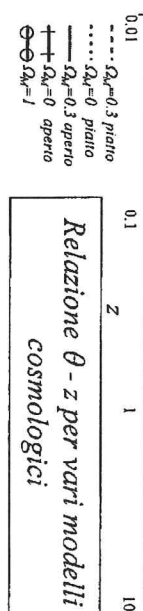
$$\theta_s = \frac{2\pi R_H}{d_A}$$

$$R_H = \frac{D}{\theta_s} = \frac{R_H}{l_s}$$

IR Diametro della struttura diro
distanza diro
stretto

Dipendenza di θ_s ed l_s da Ω_M
nei modelli aperto ($\Omega_A = 0$) e piatto ($\Omega_M + \Omega_A = 1$)

Multipolo corrispondente al piano acustico



$$l_s \approx \frac{\pi}{\theta_s} \approx \frac{2\pi(1+z_{ls})^{1/2}}{\Omega_M^{\alpha-1/2}} \approx \frac{200}{\Omega_M^{\alpha-1/2}}$$



In realtà questo metodo ha dato i suoi frutti applicato ai CMB, usando come scala D la dimensione del cosiddetto orizzonte sonoro ($\sim R_H$), all'epoca dello ultimo scattering ($z_{ls} \approx 1/100$).

\hookrightarrow Risultati -67, 18 -

Per $z \rightarrow \infty$ possiamo scrivere ($\alpha = 1$ se $\Omega_A = 0$, $\alpha \approx 0.4$ se $\Omega_A + \Omega_M = 1$) per d_A ed R_H :

$$\left\{ \begin{array}{l} (\times) \\ (\times) \end{array} \right\} \Rightarrow d_A(z_{ls}) \cong \frac{2c}{H_0 \Omega_M^\alpha (1+z_{ls})}$$

$$R_H(z_{ls}) \cong \frac{c}{H(z_{ls})} = \frac{c}{H_0 E(z_{ls})} \cong \frac{c}{H_0 \sqrt{\Omega_M (1+z_{ls})^{3/2}}} \xrightarrow{\text{per}} \frac{c}{H_0 \text{eff} (1+z_{ls})^{3/2}}$$

$$E(z) \cong [(\Omega_Q(1+z)^2)^4 + \Omega_M(1+z)^3 + \Omega_k + (1-\Omega_k)(1+z)^2]^{1/2}$$

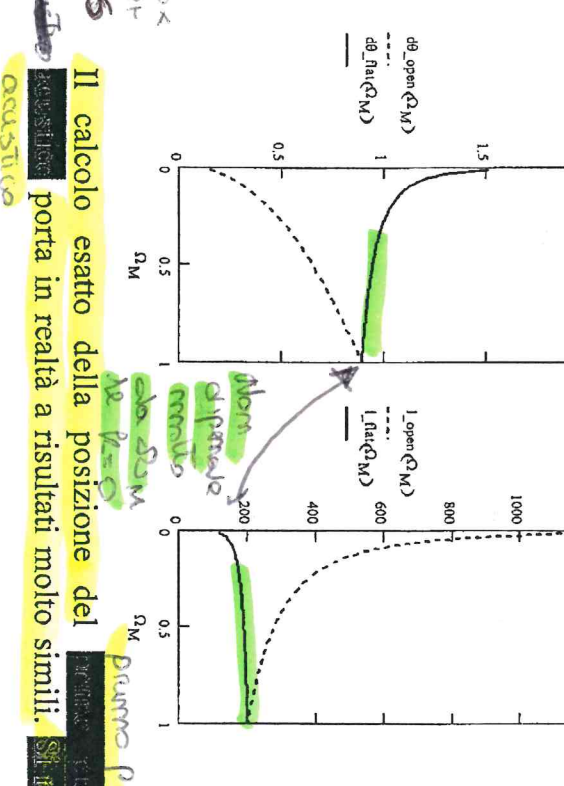
$\rightarrow \Omega_{\text{tot}} \cong 1$

$\rightarrow H = H_0 (1+z)^{3(1+\alpha)/2}$

Posizione Angolare Piano Acustico nel CMB

Marino Mezzetti

ELEMENTI DI COSMOLOGIA



Il calcolo esatto della posizione del piano acustico porta in realtà a risultati molto simili.